

Erratum

Vezelversterkte Kunststoffen, Mechanica en Ontwerp, A.H.J. Nijhof
Editie april 2004, ISBN90-407-2484-9

In dit erratum worden de onvolledig afgedrukte figuren 6.7, 7.3, 7.6, 7.14, 8.1, 10.1, 10.2, 10.3, 10.4, 12.3, 12.6 en A1.1 verbeterd weergegeven.

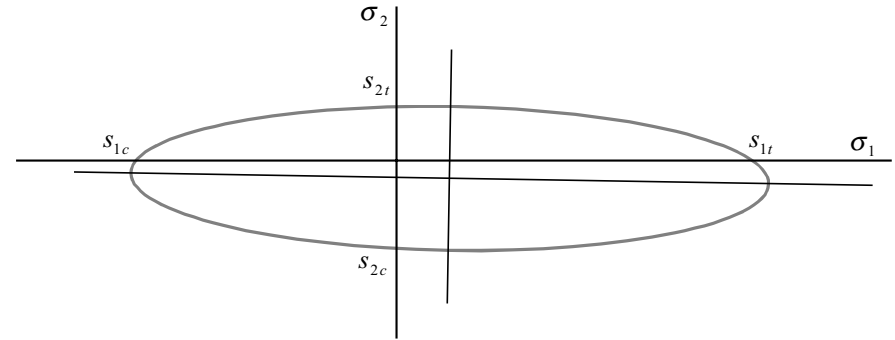


Fig. 6.7. De doorsnijding van het veilige gebied met het $\sigma_1\sigma_2$ -vlak bij VST in het x_1x_2 -vlak van orthotroop materiaal met materiaal-hoofdrichtingen x_1, x_2, x_3 , volgens het tensorieel criterium van Tsai & Wu.

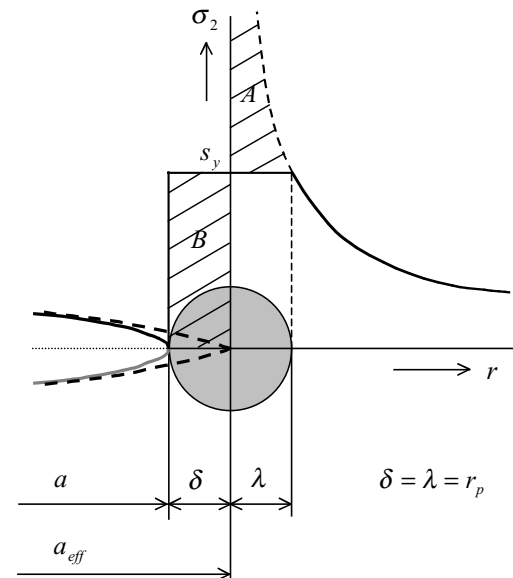


Fig. 7.3. Vloei rond de scheurtip. De werkelijke scheurtip gaat rond staan; de denkbeeldige scheurtip loopt door tot in het hart van de cirkelvormige plastische zone. Grafisch is de spanningscomponent σ_2 uitgezet tegen de afstand tot de denkbeeldige scheurtip langs de x_1 -as. In de plastische zone heerst de vloeispanning s_y .

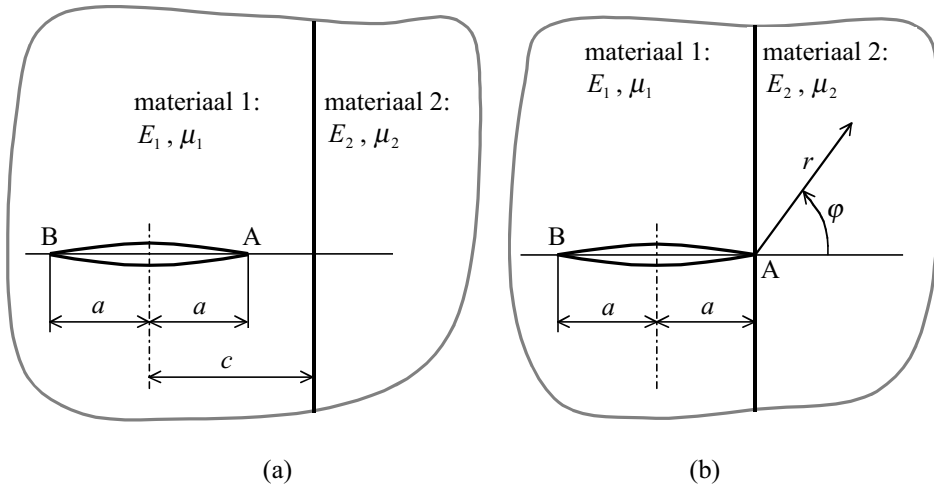


Fig. 7.6. Een plaat bestaande uit twee helfvlakken van verschillend materiaal, met een scheur in één helfvlak loodrecht op de scheiding: (a) in de nabijheid van de grens, (b) doorlopend tot de grens tussen de twee materialen.

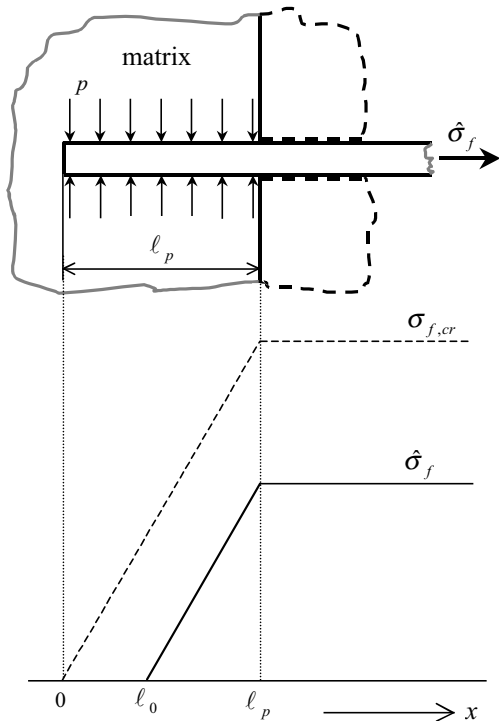


Fig. 7.14. Het spanningsverloop in de vezel bij pull-out volgens de slip-theorie.

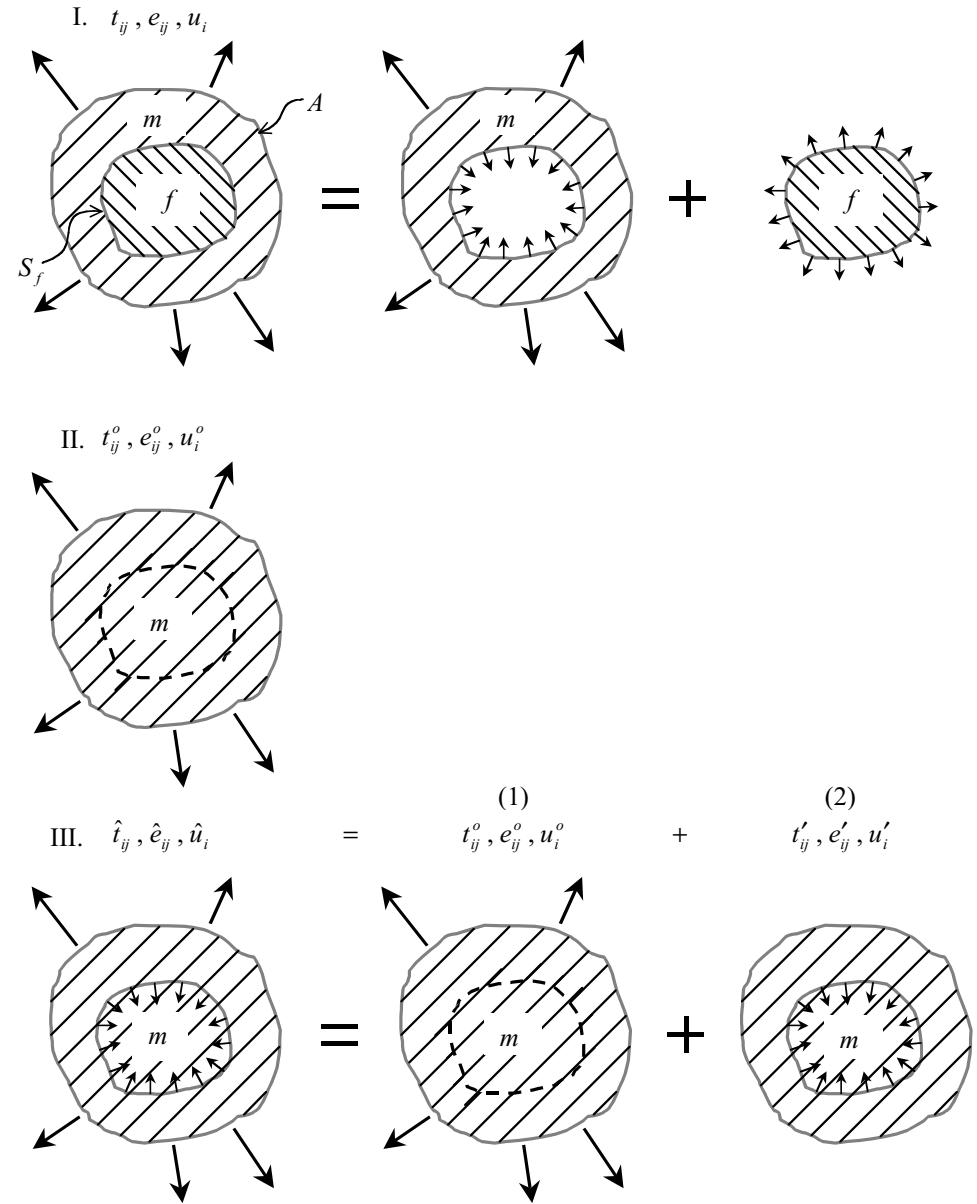


Fig. A1.1. Vergelijking van een belast heterogeen lichaam (I: matrix met insluitel) met een uitwendig geometrisch identiek homogeen lichaam (II) en een zowel uit- als inwendig geometrisch identiek homogeen lichaam met een fictief insluitel (III).

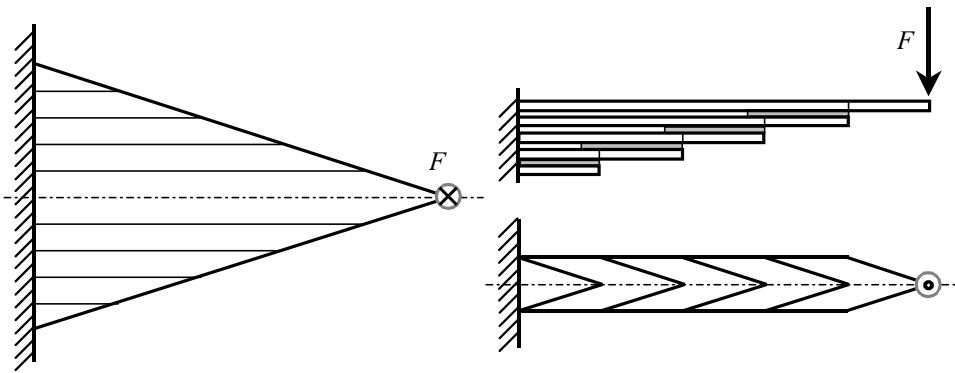


Fig. 12.6. Bovenaanzicht van een driehoekige bladveer (links), met de 'snijlijnen' waarlangs deze in gedachten is verdeeld en gepaketteerd tot een meerbladige bladveer (rechts: zij- en onderaanzicht). In de praktijk kan een dergelijke veer natuurlijk niet in een punt uitlopen.

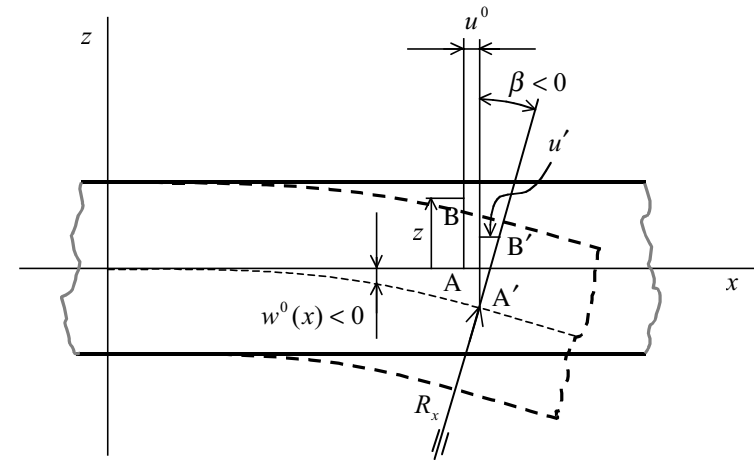


Fig. 8.1. Snede uit een plaat die gebogen wordt. Verband tussen de verplaatsing in x-richting van een punt B op afstand z van het xy-vlak (middenvlak van de plaat) en die van het projectiepunt A op dat vlak.

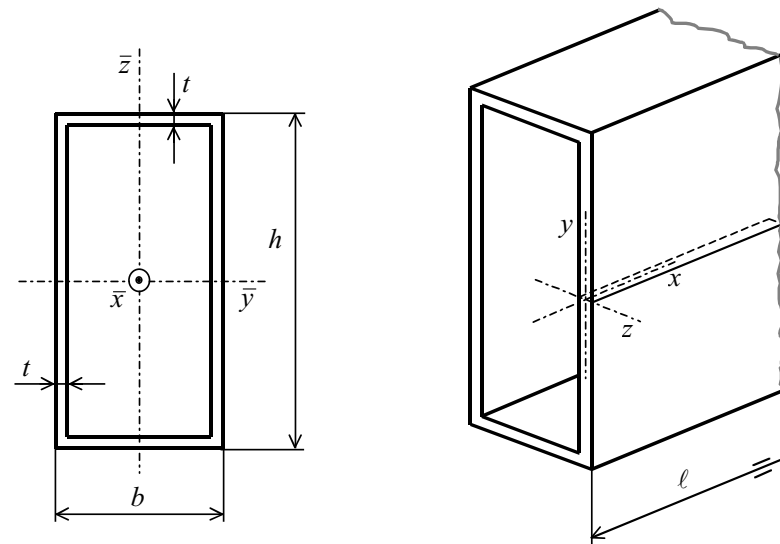


Fig. 10.1. Kokerbalk. Links: dwarsdoorsnede met globaal assenstelsel. Rechts: perspectiefisch aanzicht met lokaal assenstelsel voor de zijwand.

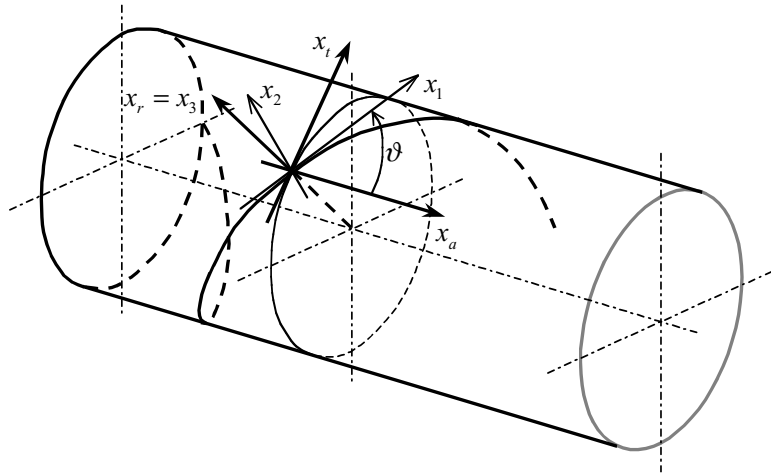


Fig. 10.2. Een schroeflijn op een cilinder met wikkelhoek ϑ en de bijbehorende orthogonale assenstelsels $x_a x_t x_r$ en $x_1 x_2 x_3$.

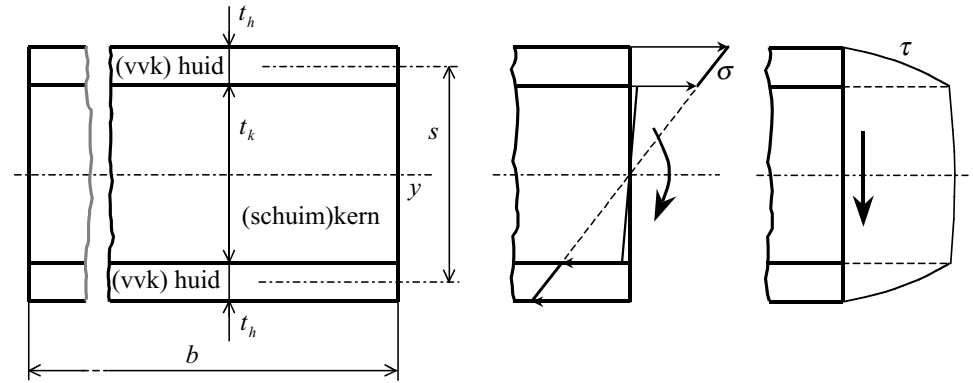


Fig. 10.4. Sandwich(balk) met breedte b . Links: Dwarsdoorsnede. Midden: Zijaanzicht met de verdeling van de buigspanning σ bij buiging. Rechts: Idem van de schuifspanning τ bij buiging door middel van een dwarskracht.

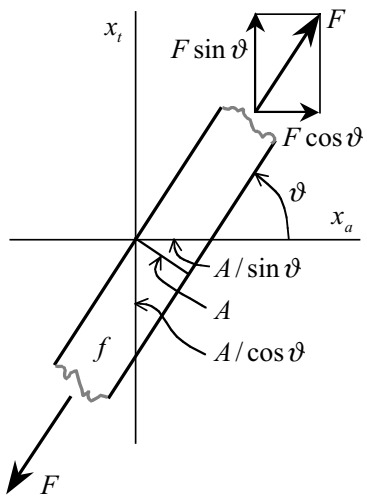


Fig. 10.3. Spankracht F in de lengterichting van een onder hoek ϑ gewikkelde vezel f , ontbonden in axiale en tangentiële richting, alsmede de doorsneden van de vezel waarop deze ontbondenen respectievelijk werken.

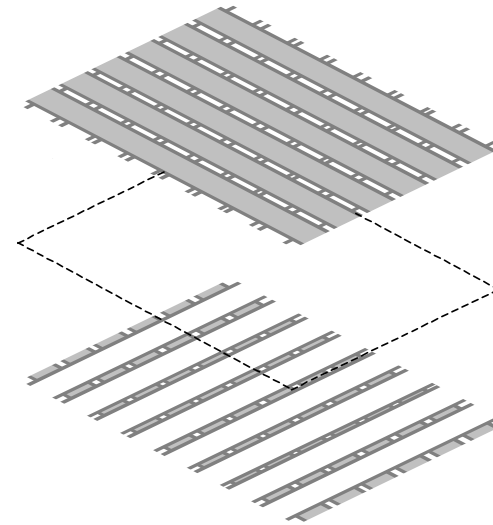


Fig. 12.3. Twee identieke legfels, die, mede door kring van de een, elkaars spiegelbeeld vormen ten opzichte van het middenvlak in een laminaat. Hun bijdragen aan de koppelmatrix $[B]$ heffen daardoor elkaar op.